



БИООРГАНИЧЕСКАЯ ХИМИЯ

том 12 * № 5 * 1986

УДК 547.631.6.06 : 543.51

МАСС-СПЕКТРОМЕТРИЧЕСКИЙ АНАЛИЗ ПРОИЗВОДНЫХ 2-АМИНОБЕНЗОФЕНОНА И ИХ МЕТАБОЛИТОВ

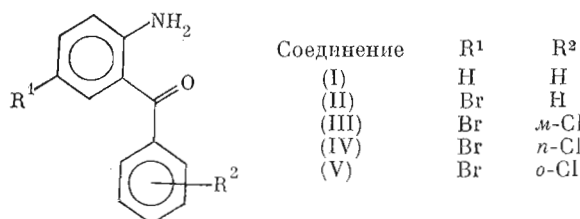
Головенко Н. Я., Зиньковский В. Г., Андронати С. А.,
Яворский А. С.

Физико-химический институт им. А. В. Богатского
Академии наук УССР, Одесса

Проведен масс-спектрометрический анализ 2-аминоbenзофенона, его галогенпроизводных и их метаболитов, образующихся в организме крыс. Определены особенности фрагментации продуктов гидроксилирования указанных соединений. Обнаружена структурная специфичность реакций окисления 2-аминоbenзофенонов, отличная от преобладающих процессов гидроксилирования фенильного (*o*-хлорфенильного) цикла 1,4-бенздиазепинов, продуктами гидролиза которых являются соответствующие benзофеноны.

Открытие бенздиазепиновых рецепторов в различных органах и тканях животных и человека способствовало их изучению специалистами, работающими в области фармакологии, нейрофизиологии, биохимии, биоорганической химии и др. Особый интерес в этой связи представляют работы, в которых исследуется молекулярная организация бенздиазепиновых рецепторов, а также ведется поиск их эндогенных лигандов. С этой целью используются различные методические подходы. В живых организмах 1,4-бенздиазепины подвергаются различным биохимическим превращениям [1]. Наименее изучен процесс гидролиза этих соединений до соответствующих 2-аминоbenзофенонов, которые в свою очередь подвергаются дальнейшему превращению в живом организме. Эти процессы могут вносить свой вклад в активность препаратов и их взаимодействие с бенздиазепиновыми рецепторами.

В настоящей работе изучена структура метаболитов экзогенных 2-аминоbenзофенонов, образующихся в результате окислительных реакций в организме крыс. С этой целью нами синтезированы 2-аминоbenзофеноны (I) — (V):



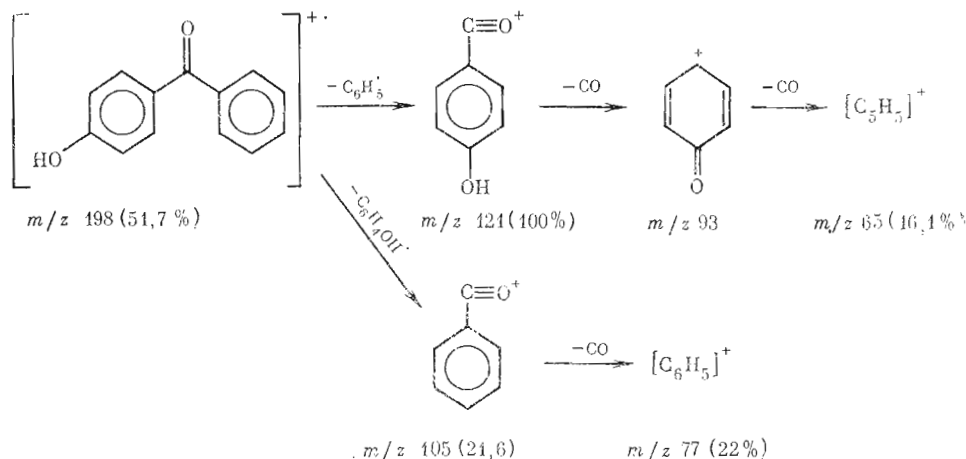
Соединения (I) — (V) и их метаболиты экстрагировали из мочи животных хлороформом и после ТСХ-разделения в системе хлороформ—четыреххлористый углерод (1 : 1) идентифицировали реакцией диазотирования — диазосочетания с резорцином, α - и β -нафтолов [2]. Было установлено, что соединения (I) — (V) (R_f 0,7—0,8) в организме животных практически полностью метаболизируют с образованием ароматических аминов ($R_f < 0,65$).

Преобладающие продукты — метаболиты (Ia) (R_f 0,50), (IIa) — (IVa) (R_f 0,45), представленные в моче свободными (хлороформэкстрагируемыми) веществами и глюкуронидами, агликоны которых извлекались после ферментативного гидролиза, были препаративно разделены и очищены методами, разработанными ранее [2, 3]. Из мочи также получены метаболиты (Ib) (R_f 0,40), (IIb) (R_f 0,30) и следовые количества ароматических

аминов (R_f 0,6—0,65 и 0,3—0,35). Как и в исследовании, проведенном *in vitro* [2, 3], показано, что *in vivo* соединение (V) образует три метаболита с R_f 0,35; 0,45 и 0,5 (Va, б, в).

Направление метаболизма бензофенона в организме крыс и кроликов [4] обусловлено симметричностью молекулы исходного соединения. Масс-спектрометрический распад образующегося *n*-оксипроизводного представлен на схеме 1:

Схема 1



Асимметричность соединений (I) — (V) обуславливает специфику гидроксилирования одного из ароматических колец молекулы.

Схемы масс-спектрометрического распада 2-аминобензофенонов используются при установлении структуры метаболитов 1,4-бенздиазепинов [5—7].

Основные (общие для соединений (I) — (V) и их метаболитов) направления фрагментации при электронном ударе заключаются в разрыве связей между карбонилом и ароматическим ядром с сохранением заряда на том или ином фрагменте (ионы Φ_4 — Φ_9) и в последовательном элиминировании из иона M^+ радикала водорода (ион Φ_1), молекулы CO (ион Φ_2), радикала водорода (ион Φ_3), а также радикала OH из енольной формы M^+ (ион Φ_{10}) (схема 2).

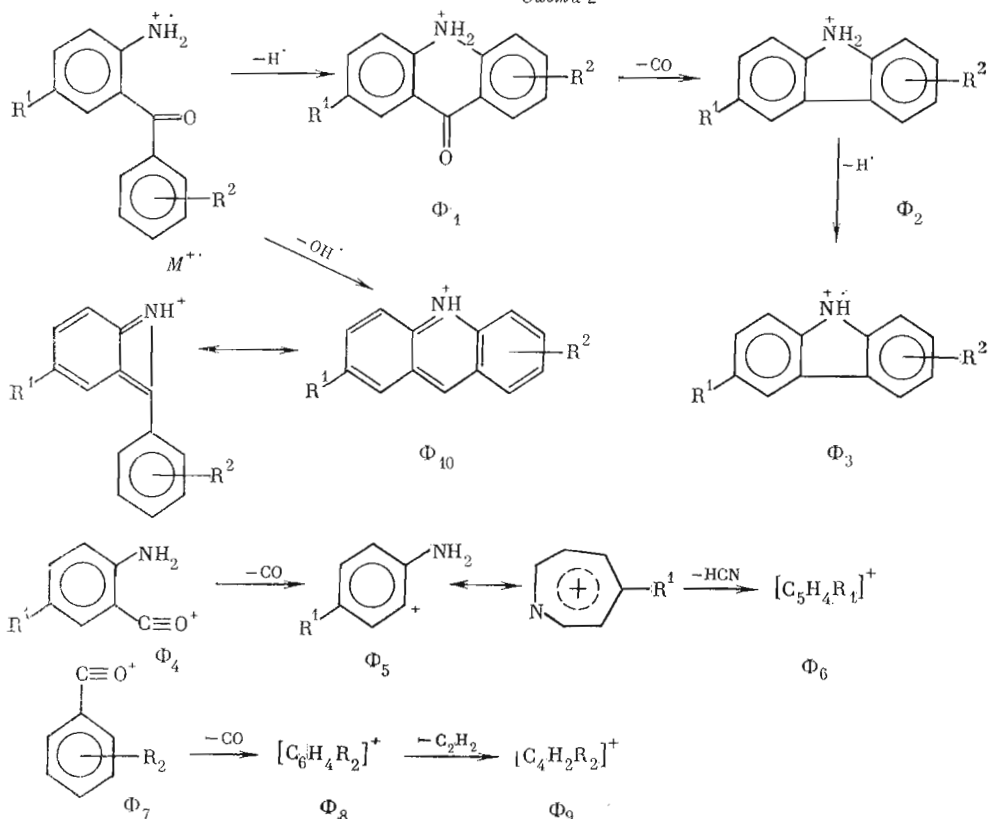
Поэтому определение структуры метаболитов 2-аминобензофенонов заключается в анализе изменений величин m/z и интенсивностей пиков ионов, которые могут быть общими для масс-спектров всей группы соединений (M^+ , Φ_1 — Φ_{10}) или специфическими (обусловленными) характером

Таблица I

Основные направления распада 2-аминобензофенона и его метаболитов при электронном ударе

Индекс	Ион	m/z , %		
		(I)	(Ia)	(Ib)
M^+	M^+	197(78)	213(70)	213(65)
Φ_1	$[M-H]^+$	196(100)	212(100)	212(100)
Φ_2	$[M-H, CO]^+$	168(6,5)	184(6)	184(6)
Φ_3	$[M-H, CO, H]^+$	167(7)	183(2)	183(4)
Φ_4	$[M-C_6H_5]^+$	120(36)	136(34)	136(20)
Φ_5	$[M-C_6H_5, CO]^+$	92(23)	108(11)	108(19)
Φ_6	$[M-C_6H_5, CO, HCN]^+$	65(24)	—	—
Φ_7	$[M-C_6H_4NH_2]^+$	105(20)	105(28)	105(24)
Φ_8	$[M-C_6H_4NH_2, CO]^+$	77(42)	77(56)	77(51)
Φ_9	$[M-C_6H_4NH_2, CO, C_2H_2]^+$	51(12)	51(17)	51(9)
Φ_{10}	$[M-Cl]^+$	180(6,5)	196(4)	196(5)

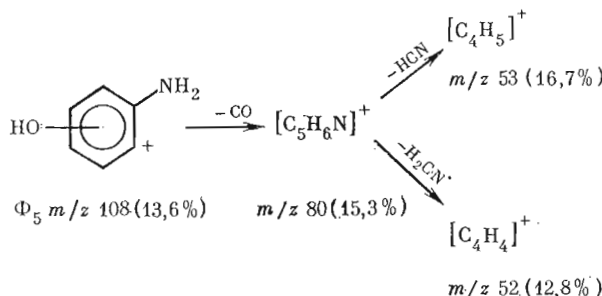
Схема 2



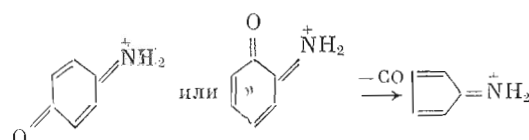
и местом замещения), а также в обнаружении альтернативных путей фрагментации метаболитов.

Данные масс-спектров соединений (I), (Ia) и (Iб) показали (табл. 1), что пики молекулярного иона, ионов Φ_1 — Φ_5 и Φ_{10} метаболитов (Ia) и (Iб) сместились в сторону больших значений m/z на 16 а. е. м. в сравнении со спектром соединения (I). Значения величин m/z фрагментов Φ_7 — Φ_9 исходного соединения и метаболитов идентичны. Указанное изменение свидетельствует о наличии гидроксильной группы в 2-аминобензоильном кольце обоих метаболитов соединения (I).

Отсутствие пика иона Φ_6 ($[\Phi_5 - \text{HCN}]^+$) и появление альтернативного пути фрагментации (Ia):



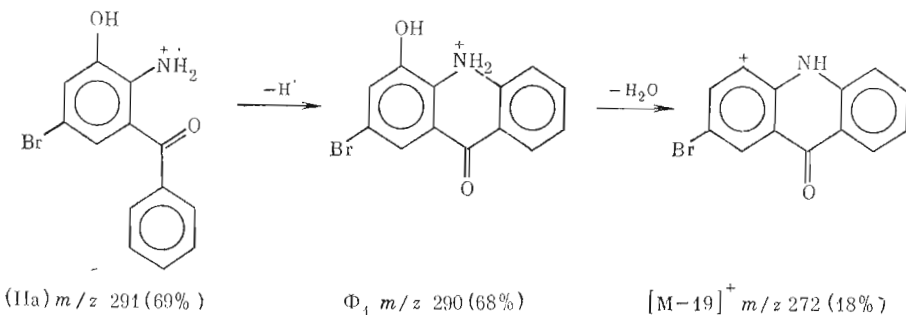
косвенно указывают на то, что оксигруппа находится в *o*- или *n*-положении (в сопряжении с аминогруппой):



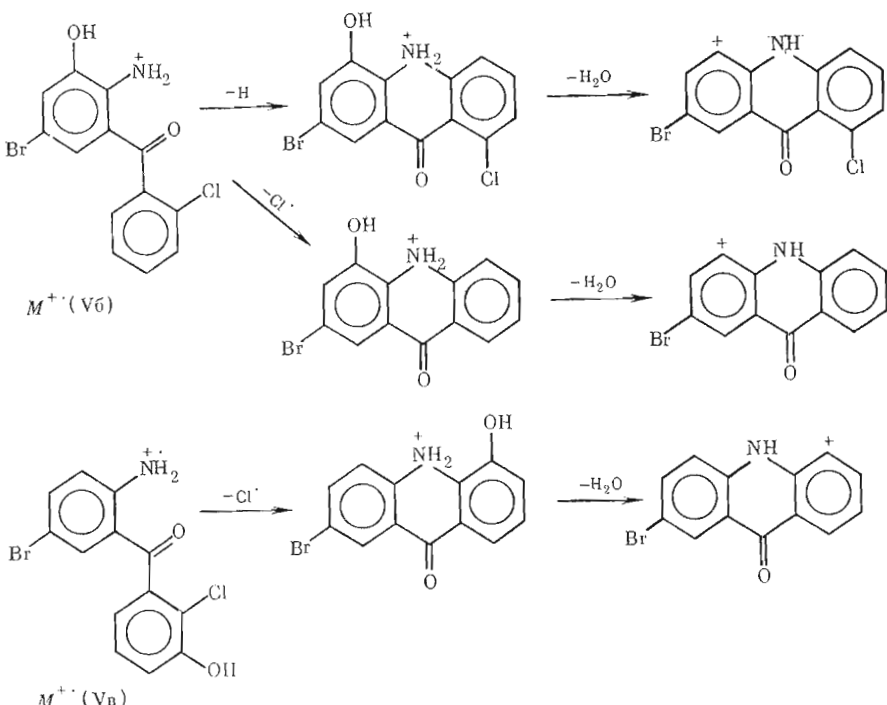
В масс-спектре соединения (Iб) аналогичного пути фрагментации не отмечено.

Основные черты фрагментации соединения (II) и его метаболитов аналогичны фрагментации соединения (I) и его метаболитов (табл. 2). Присутствие атома брома обусловливает образование фрагментов $[M - Br]^+$, $[M - H, Br]^+$ и других в масс-спектрах соединения (II) и его метаболитов (IIа) и (IIб). Возрастание значения величины m/z на 16 а. с. м. характерно для ионов M^+ , $\Phi_1 - \Phi_3$ и $\Phi_{10} - \Phi_{12}$ обоих метаболитов, $\Phi_4 - \Phi_5$ (IIа) и $\Phi_7 - \Phi_8$ (IIб). Из этого следует, что метаболит (IIа) содержит оксигруппу в 5-бром-2-аминобензоильном, а (IIб) — в фенильном кольце молекулы (II).

В масс-спектре соединения (IIа) присутствует ион $[M - 19]^+$ с m/z 272. Предположительный путь образования фрагмента следующий:

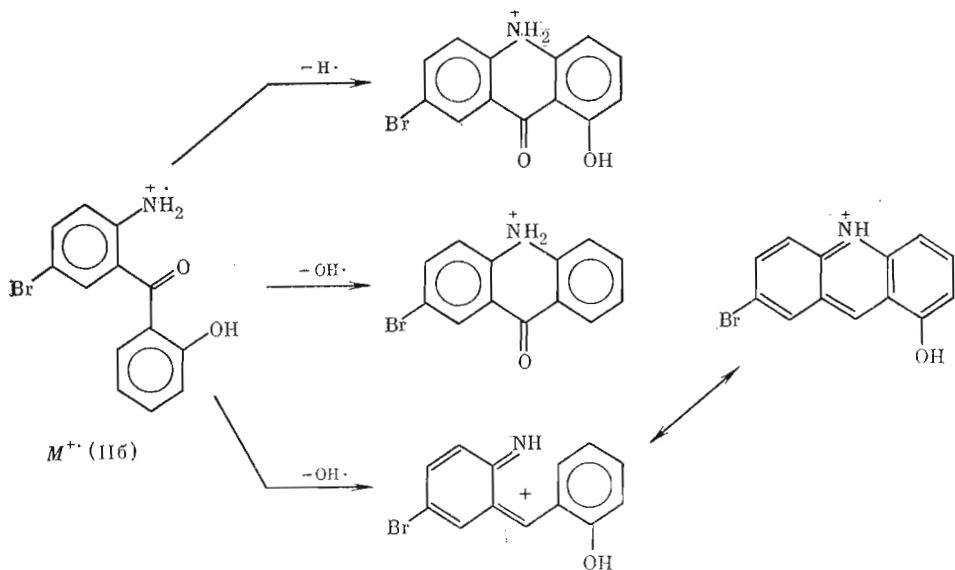


В предыдущем исследовании [6] обнаружен аналогичный путь фрагментации метаболита (Vб), структура которого (положение оксигруппы) была определена также методом ПМР [3]. Фрагментация соединения (Vб) протекает по однотипному механизму $[M - Cl, H_2O]^+$:



Для фрагментации метаболита (IIб) отмечено существенное возрастание интенсивности пика иона $[M - OH]^+$ (табл. 2). Можно предположить, что в данном случае протекает процесс, параллельный основному пути

образования иона $[M - H^+]$ трициклической структуры:



Это подтверждается дальнейшей (аналогичной $[M - H^+]$) фрагментацией иона $[M - OH]^+$ с образованием $[M - OH, CO]^+$, $[M - OH, CO, H]^+$. Аналогичный процесс отмечен для соединения (Va). В предыдущих исследованиях особенности фрагментации продукта гидролиза основного метаболита феназепама — бензофенона (Va), а также самого феназепама позволили охарактеризовать соединение (Va) как 5-бром-6'-окси-2'-хлор-2-аминобензофенон [3, 5].

Особенности фрагментации соединений (III)–(V) и их метаболитов обусловлены присутствием атома хлора в фенильном кольце молекулы (табл. 3). В масс-спектрах соединений (III), (IV) и их метаболитов пики ионов $[M - Cl]^+$ существенно менее выражены, чем в масс-спектрах соединений (V), (Va)–(Vb). Образование иона $[M - Cl]^+$ в спектрах соединения (V) и его метаболитов — основной процесс фрагментации, обусловленный *o*-положением атома хлора. Он сопровождается образованием иона трициклической структуры, дальнейшим отщеплением радикала Br[·], а также молекулы H₂O у метаболитов (Va) и (Vb).

В масс-спектре метаболита (IIIa) значения ионов M^+ , Φ_1 – Φ_5 , Φ_{11} и Φ_{12} (а не ионов Φ_7 , Φ_8 и Φ_{13}) сместились в сторону более высоких масс

Таблица 2

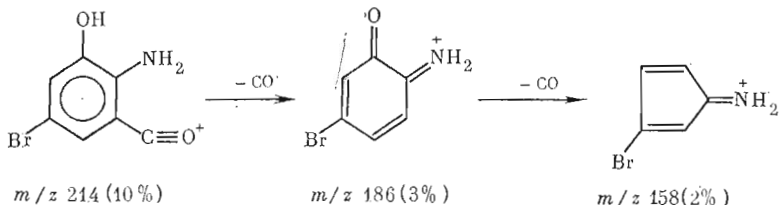
Основные направления распада 5-бром-2-аминобензофенона и его метаболитов при электронном ударе

Индекс	Ион	<i>m/z</i> , %		
		(II)	(IIa)	(IIb)
M^+	M^+	275(71)	291(69)	291(97)
Φ_1	$[M - H]^+$	274(64)	290(68)	290(100)
Φ_2	$[M - H, CO]^+$	246(1)	262(2,7)	262(1)
Φ_3	$[M - H, CO, H]^+$	245(3,4)	261(1)	261(1)
Φ_4	$[M - C_6H_5]^+$	198(25)	215(11)	
Φ_5	$[M - C_6H_5CO]^+$	170(20)	186(12)	
Φ_6	$[M - C_6H_5, CO, HCN]^+$			
Φ_7	$[M - C_6H_3BrNH_2]^+$	105(68)	105(75)	121(1)
Φ_8	$[M - C_6H_3BrNH_2, CO]^+$	77(100)	77(100)	93(40)
Φ_9	$[M - C_6H_3BrNH_2, CO, C_2H_2]^+$			
Φ_{10}	$[M - OH]^+$	258(6,2)	274(3,4)	274(38)
Φ_{11}	$[M - Br]^+$	196(9)	212(8)	212(4)
Φ_{12}	$[M - H, Br]^+$	195(64)	211(77)	211(50)

Основные направления распада производных 2-аминоизоферонов и их метаболитов при электронном ударе

Индекс	Ион	<i>m/z</i> , %					
		(III)	(IIIa)	(IV)	(IVa)	(V)	(Va)
<i>M</i> ⁺	<i>M</i> ⁺	309(80)	325(43)	309(68)	325(48)	309(100)	325(100)
Φ_1	[<i>M</i> –H] ⁺	308(70)	324(29)	308(64)	324(35)	308(24,5)	324(17,5)
Φ_2	[<i>M</i> –H, CO] ⁺					280(1,4)	296(4,3)
Φ_3	[<i>M</i> –H, CO, H] ⁺						296(1,7)
Φ_4	[<i>M</i> –C ₆ H ₄ Cl] ⁺	198(46)	214(10)	198(40)	214(22)	198(25,5)	214(10,5)
Φ_5	[<i>M</i> –C ₆ H ₄ Cl, CO] ⁺	170(26)	186(3)	170(32)	186(45)	170(11,4)	186(4,9)
Φ_6	[<i>M</i> –C ₆ H ₄ Cl, CO, HCN] ⁺	143(12)		143(9)			170(46,5)
Φ_7	[<i>M</i> –C ₆ H ₃ BrNH ₂] ⁺	139(67)	139(59)	139(75)	139(60)	139(38,5)	139(53,4)
Φ_8	[<i>M</i> –C ₆ H ₃ BrNH ₂ , CO] ⁺	111(100)	111(100)	111(100)	111(100)	127(15)	127(15,8)
Φ_9	[<i>M</i> –C ₆ H ₃ BrNH ₂ , CO, C ₂ H ₂] ⁺			292(1)	292(1)		
Φ_{10}	[<i>M</i> –OH] ⁺					292(4,6)	308(4,8)
Φ_{11}	[<i>M</i> –Br] ⁺					230(4,9)	245(4,4)
Φ_{12}	[<i>M</i> –C ₆ H ₄ Cl, CO, Br] ⁺	91(60)	107(18)	91(73)	107(36)	91(17)	245(3,1)
Φ_{13}	[<i>M</i> –C ₆ H ₃ BrNH ₂ , CO, HCl] ⁺	75(68)	75(56)	75(56)	75(50)	91(68,5)	107(3,7)
Φ_{14}	[<i>M</i> –Cl] ⁺	274(15)	290(0,2)	274(25)	290(1)	274(59,5)	290(40,5)
Φ_{15}	[<i>M</i> –Cl, Br] ⁺					495(17,5)	211(22,5)

на 16 а.е.м. Присутствие пика иона $[M - C_6H_4Cl, CO]^+$ и отсутствие пика иона $[M - C_6H_4Cl, CO, HCN]^+$ однозначно (ввиду присутствия в кольце атома брома) определяет место оксигруппы в молекуле бензофенона:

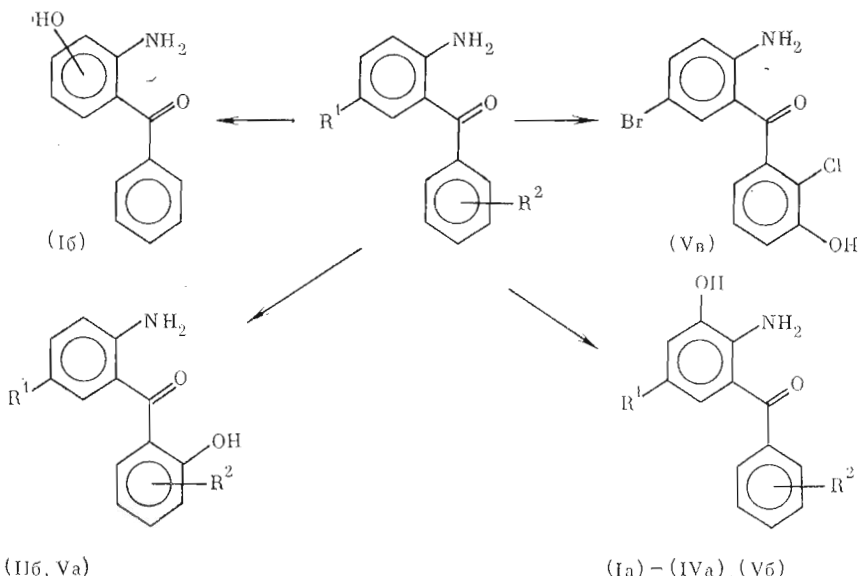


Фрагментация соединений (IV) и (IVa) аналогична фрагментации соединений (III) и (IIIa). Интенсивность пиков образующихся ионов отличается на 20–25% (табл. 3).

Особенности фрагментации соединений (V), (Va) — (Vb) и основные пути метаболизма соединения (V) в организме крыс, мышей и *in vitro* описаны нами ранее [3, 5, 6].

На основании изложенного мы можем охарактеризовать метаболиты (Ia)–(IVa) и (Vb) как 3-оксипроизводные 2-аминобензофенона (основной путь метаболизма в организме крыс), а также отметить образование соединений, гидроксилированных в *o*-положение фенильного (IIб) и *o*-хлорфенильного (Va) колец. Указанные бензофеноны являются продуктами гидролиза основных метаболитов соответствующихベンдиазепинов.

Интересно, что метаболит, гидроксилированный по 2-аминобензоильному фрагменту, но не в положение 3, отмечен только для незамещенного 2-аминобензофенона:



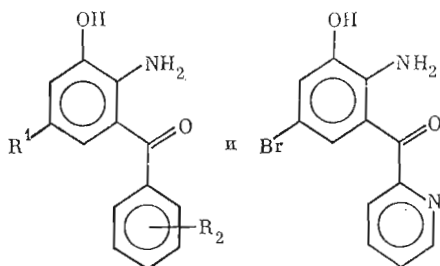
В дальнейшем оксипроизводные 2-аминобензофенона подвергаются глюкуроповой конъюгации и выводятся из организма крыс в виде свободных и конъюгированных соединений.

Настоящие исследования, а также литературные данные [2, 8, 9] показывают, что 2-аминобензофенон, а также 2-(2-амино-5-бромобензоил)-пиридин подвергаются в организме животных и человека интенсивному метаболизму с образованием 3-оксипроизводных (схема 3).

Данный процесс не зависит от природы радикалов R^1 и R^2 . Мы попытались объяснить некоторые механизмы окисления 2-аминобензофенона и 2-(2-амино-5-бромобензоил)-пиридина.

Во-первых, окисление названных субстратов осуществляется ферментными комплексами микросом гепатоцитов [4, 8]. Основную роль при этом

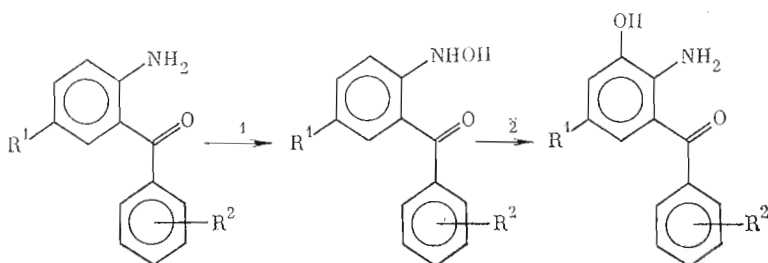
Схема 3



выполняют монооксигеназы, содержащие электронно-транспортную систему, специфичную к NADPH.

Во-вторых, исходя из общих механизмов ароматического гидроксилирования [10], можно предположить, что этот процесс осуществляется за счет присоединения атома кислорода, активированного на цитохроме Р-450, к двойной связи и образования соответствующего эпоксида. Впоследствии происходит изомеризация эпоксида до фенола, которая при физиологических условиях протекает довольно быстро. К сожалению, нет данных, свидетельствующих о миграции дейтерия или трития по кольцу, сопровождающей, как правило, ароматическое гидроксилирование, идущее через промежуточное соединение эпоксидной природы.

Предполагается и другой вариант возможного окисления монооксигеназами исследуемых соединений в положении 3 их молекулы. В этом случае в качестве промежуточного продукта может образовываться соответствующий гидроксиламин:



При этом реакция 1 катализируется ферментами микросом печени экспериментальных животных, а реакция 2 — растворимой фракцией гепатоцитов. Об этом свидетельствует и тот факт [8], что выход 3-оксипроизводных 2-аминобензофенона увеличивается при добавлении в среду, содержащую микросомы печени животных, цитозоля.

Экспериментальная часть

Исследуемые соединения вводили внутрибрюшинно (50 мг/кг) в твиновой эмульсии крысам-самцам линии Вистар массой 180—200 г. Животных содержали в течение 48 ч в метаболических клетках «Simax» (ЧССР), снабжая водой и стандартным пищевым рационом. Отбор проб мочи, извлечение коньюгированных метаболитов, хроматографическое разделение, идентификацию (включая цветные реакции), препаративное выделение исходных соединений и их метаболитов осуществляли как описано в предыдущих работах [2, 3]. Масс-спектрометрию производных 2-амино-бензофенона проводили на приборе МХ-1303 при энергии ионизации 70 эВ и токе эмиссии 1,5 мА.

ЛИТЕРАТУРА

1. Богатский А. В., Андронати С. А., Головенко П. Я. Транквилизаторы (1,4-бенздиазепины и родственные структуры). Киев: Наук. думка, с. 356.
2. Каравеева Т. Л., Зиньковский В. Г., Головенко Н. Я., Яворский А. С., Старовойт И. А., Фельдман Е. В., Абрамович Е. В. Тез. докл. Всесоюз. симпозиума «Цитохром Р-450 — структура и функция». Минск, 1982, с. 33.

3. Головенко Н. Я., Зиньковский В. Г. В кн.: Феназепам/Ред. Богатский А. В. Киев: Наук. думка, 1982, с. 32—36.
4. Stocklinsski A. W., Ware O. B., Oberst T. J. Life Sci., 1980, v. 26, № 5, p. 365—369.
5. Богатский А. В., Зиньковский В. Г., Головенко Н. Я., Андронати С. А., Яворский А. С., Шарбатян П. А. Докл. АН УССР. Сер. Б, 1979, т. 11, с. 943—947.
6. Головенко Н. Я., Зиньковский В. Г., Богатский А. В., Шарбатян П. А., Андронати С. А. Хим.-фармацевт. журн., 1980, № 4, с. 15—21.
7. Шарбатян П. А. Масс-спектрометрическое исследование бензодиазепинов и их производных. Автореф. дис. на соискание уч. степени канд. хим. н. МГУ, 1975, с. 18.
8. Sawada H., Hara A., Kido A., Fucimoto M. J. Pharm. Soc. Jap., 1974, v. 94, № 8, p. 991—997.
9. Sawada H., Hara A. J. Pharm. Soc. Jap., 1979, v. 99, № 1, p. 30—37.
10. Головенко Н. Я. Механизмы реакций метаболизма ксенобиотиков в биологических мембрanaх. Киев: Наук. думка, 1981, с. 256.

Поступила в редакцию
5.V.1985
После доработки
26.IX.1985

MASS-SPECTROMETRIC ANALYSIS OF 2-AMINOBENZOPHENONE DERIVATIVES AND THEIR METABOLITES

GOLOVENKO N. Ya., ZINKOVSKY V. G., ANDRONATI S. A., YAVORSKY A. S.

A. V. Bogatsky Physico-Chemical Institute, Academy of Sciences
of the Ukrainian SSR, Odessa

Mass-spectrometry analysis was carried out for 2-aminobenzophenone, its halogen derivatives and metabolites formed in the rat organism. The characteristic fragmentation patterns were outlined for the products arising on hydroxylation of the above compounds. The structural specificity in the oxidation of 2-aminobenzophenones was found to be different from that predominant in hydroxylation of phenyl (*o*-chlorophenyl) ring of 1,4-benzodiazepines which give on hydrolysis the respective benzophenones.